

Fisiología Vegetal

Clase - 8

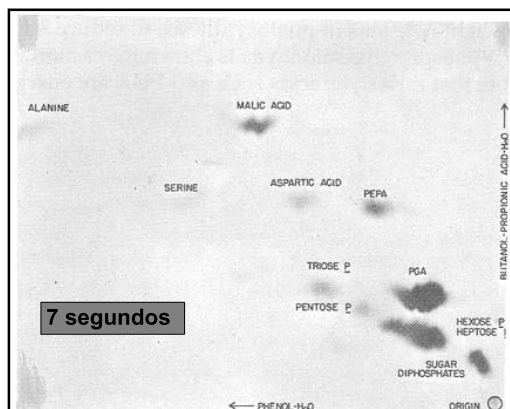
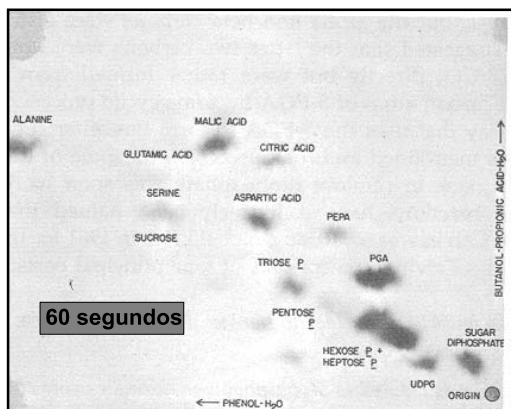
¿Preguntas de la clase anterior?

<http://www.biouls.cl>

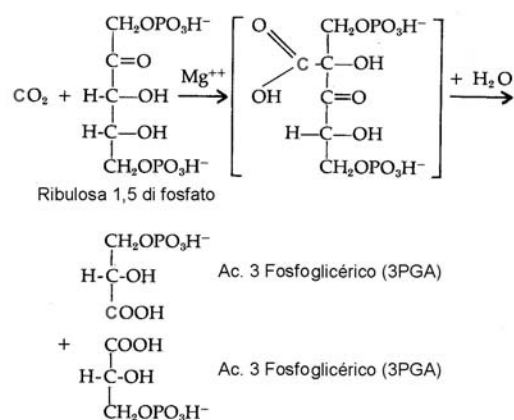
Fijación de CO₂ y Síntesis de Carbohidratos

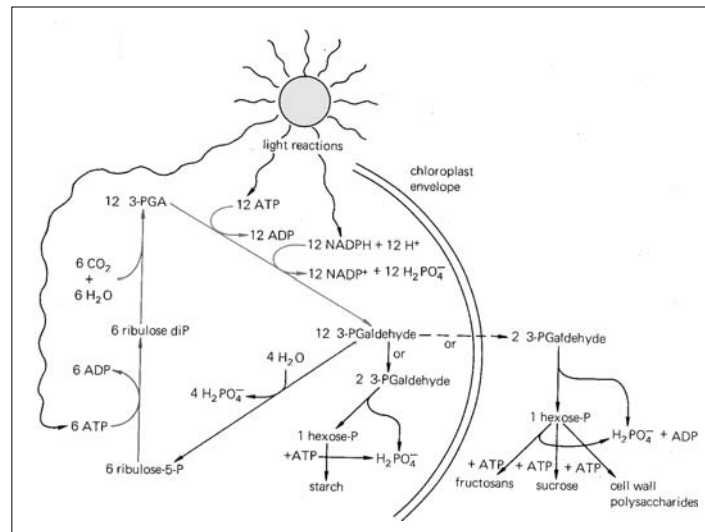
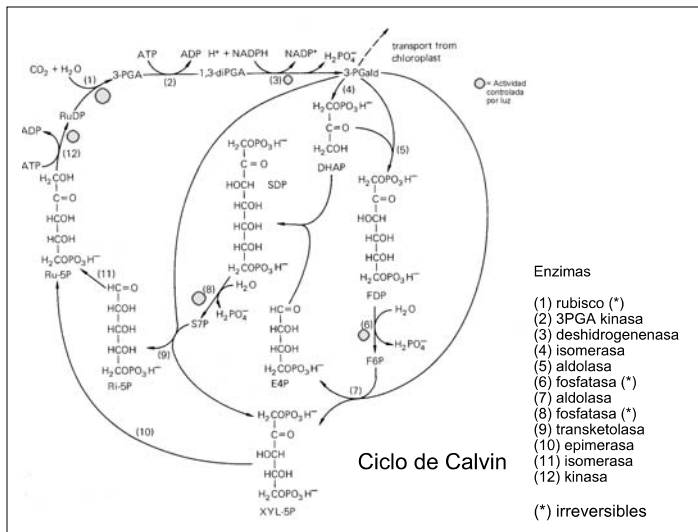
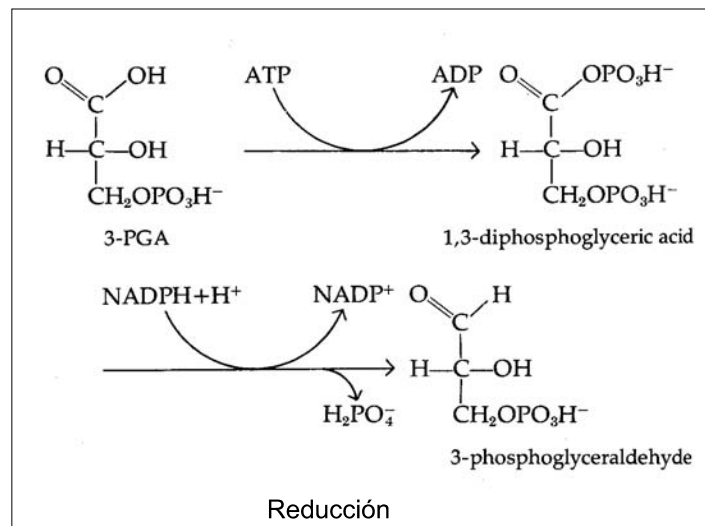
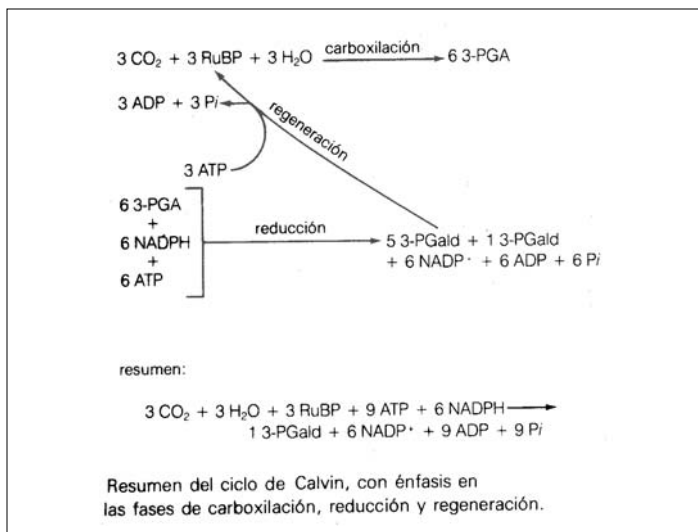
Clase 8

- Calvin, Benson y otros (1949, Univ. California-Berkeley).
- Experimento clásico con *Chlorella* (algas verdes)
 - se expone por distintos tiempos a ¹⁴CO₂
 - cromatografía + autoradiografía



Carboxilación (Ribulosa 1,5 bi fosfato carboxilasa)



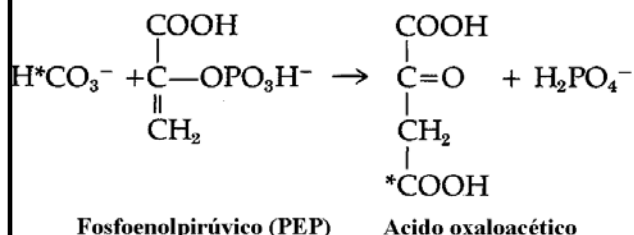


- ## Ciclo de Calvin (premio Nobel 1961)
- Carboxilación:
 - CO₂ y H₂O son agregados a ribulosa 1,5 di P (RudiP) y se forman 2 ácido 3 P glicérico (PGA).
 - Reducción:
 - PGA es reducido a 3 P gliceraldehido (3-PGaldehido) usando NADPH y ATP.
 - Regeneración:
 - transformación de 3-PGaldehido en fructosa 1,6 di P, xilulosa 5P y eritrosa 4P y sedoheptulosa 7P, generando ribosa 5P y xilulosa 5P, y finalmente ribulosa 5P (Ru 5P). Ru 5P es fosforilada por ATP y se forma la RudiP, que continua el ciclo.

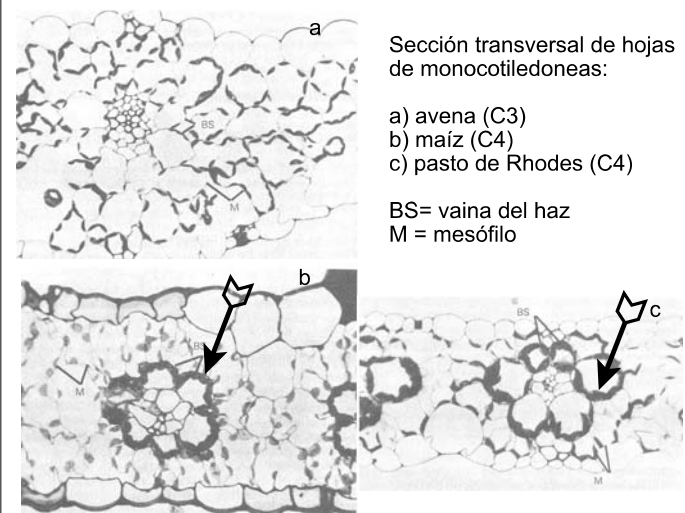
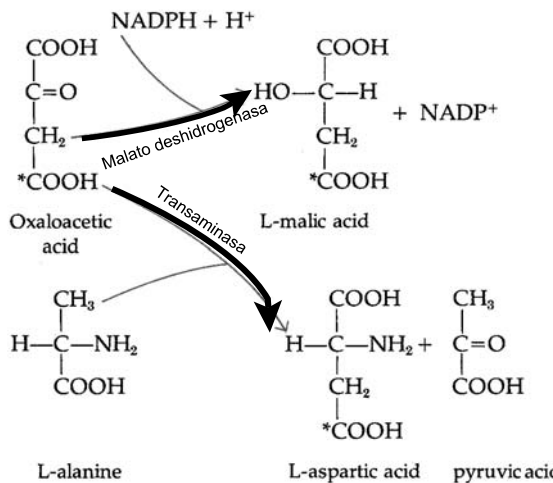
- ## Ciclo de Calvin
- Por cada 6 vueltas se fijan 6 CO₂ y se genera 1 hexosa.
 - En cada vuelta se consumen 2 NADPH y 3 ATP.
-
- A micrograph of a plant leaf cross-section. It shows the upper epidermis, palisade mesophyll, spongy mesophyll, vascular bundle, and lower epidermis. Labels include: Guard Cell, Stone, Vessel, Xylem, Phloem, Gas space, and Lower Epidermis.

Metabolismo C4

- Kortschak et al (1965, Hawái)
 - Caña de azúcar
 - ácido málico, ácido aspártico (C4)
- Hatch & Slack (1965, Australia)
 - Maíz (C4)



Enzima: PEP carboxilasa (en mesófilo)



Células del mesófilo y banda del haz en C4

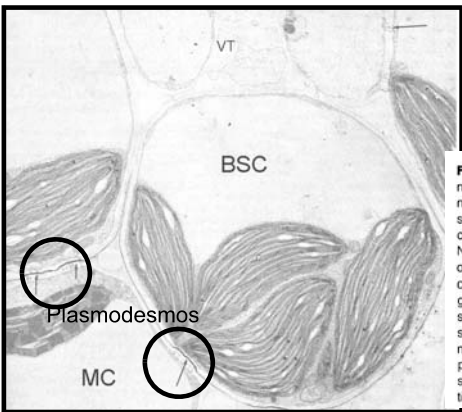
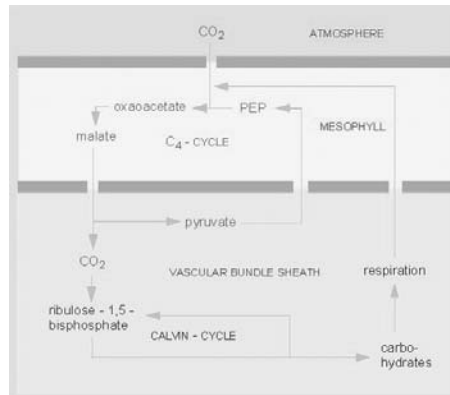
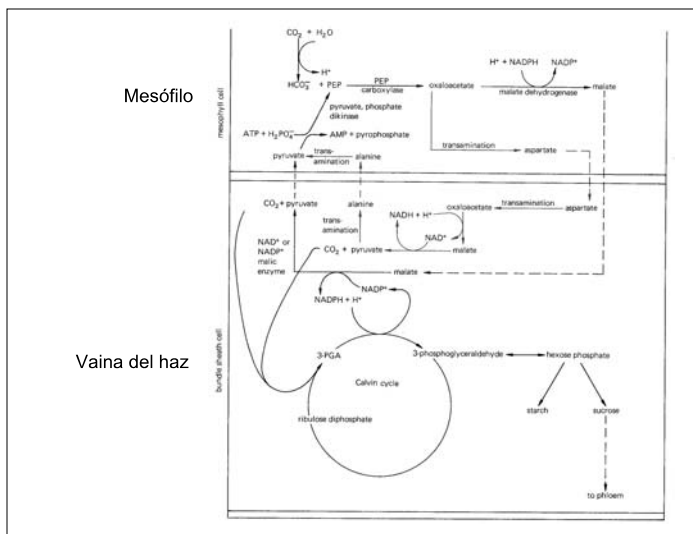


Figure 10-5 Electron micrograph of adjacent mesophyll cell (MC) and bundle sheath (BSC) in the C4 plant crabgrass (*Digitaria sanguinalis*). Note abundant grana and lack of starch in the mesophyll cell chloroplast, but absence of grana and presence of several small starch granules in bundle sheath chloroplasts. Arrows mark plasmodesmata where passage of organic acids is suspected to occur. Vascular tissue (VT) is shown at top.

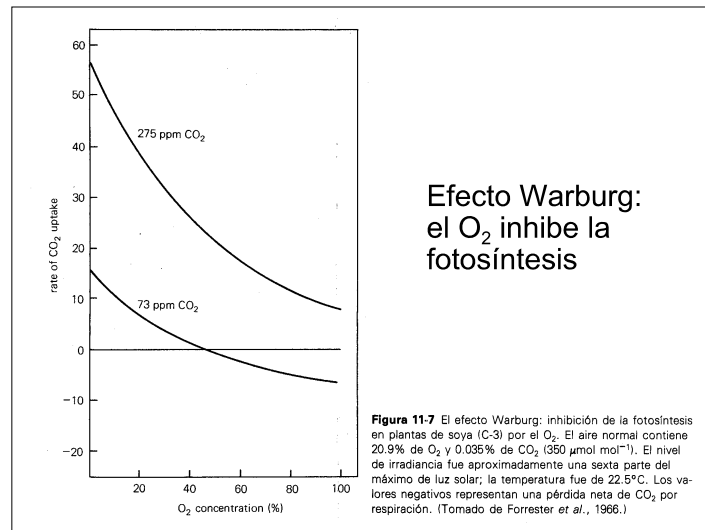
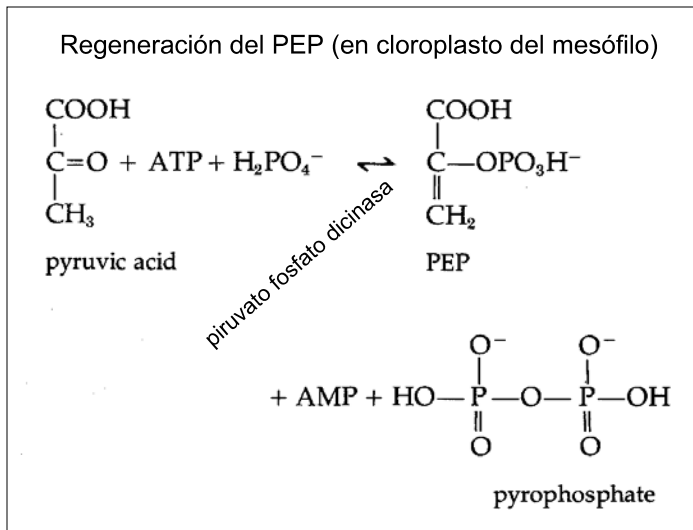


Metabolismo C₄

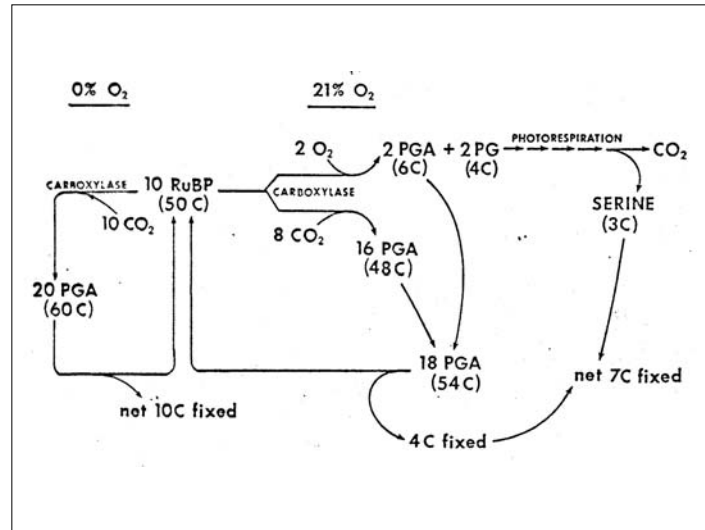
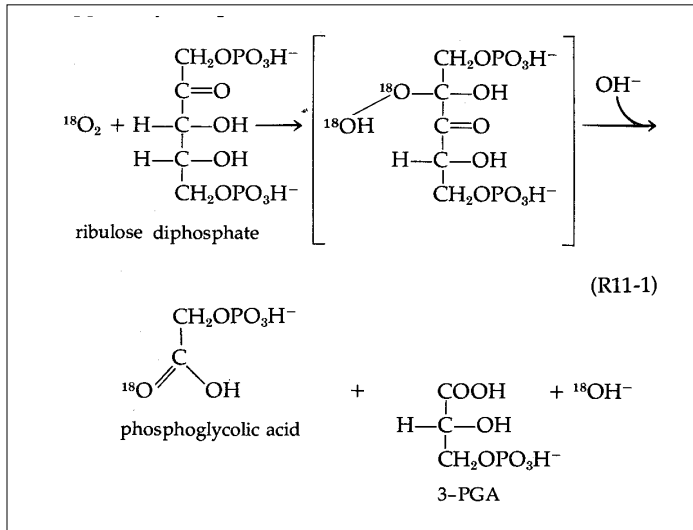


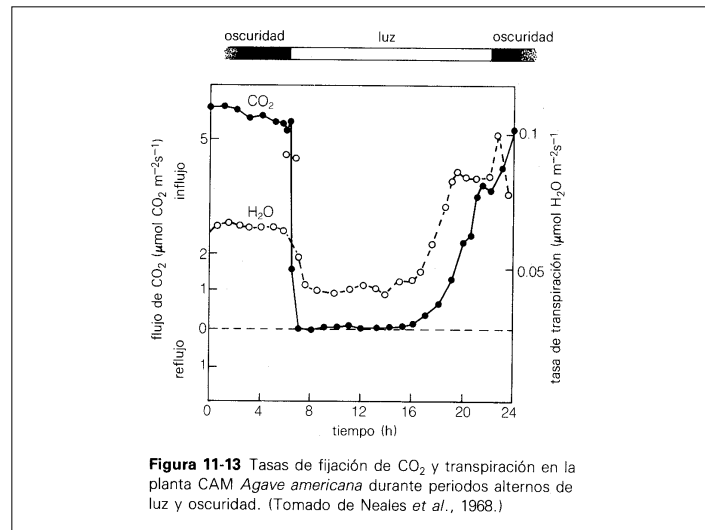
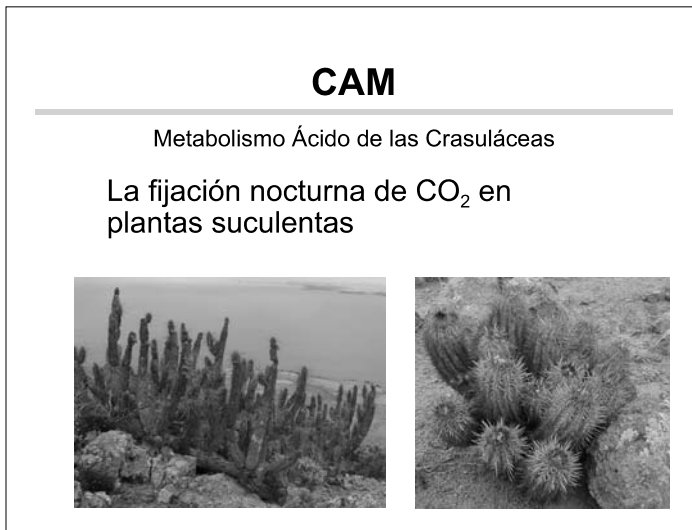
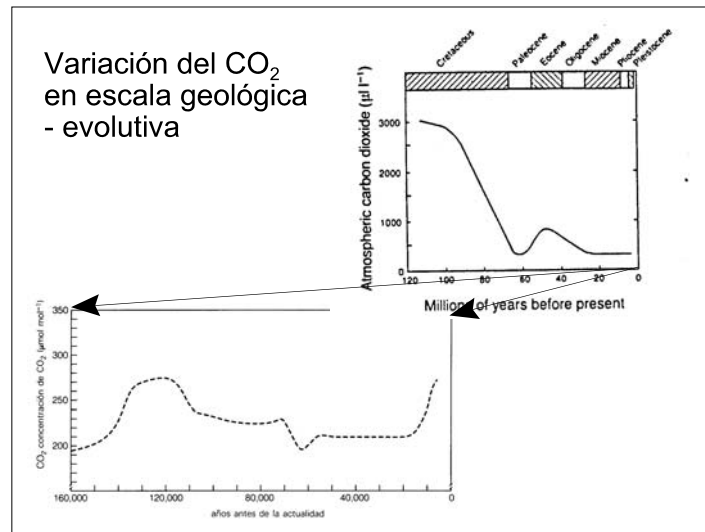
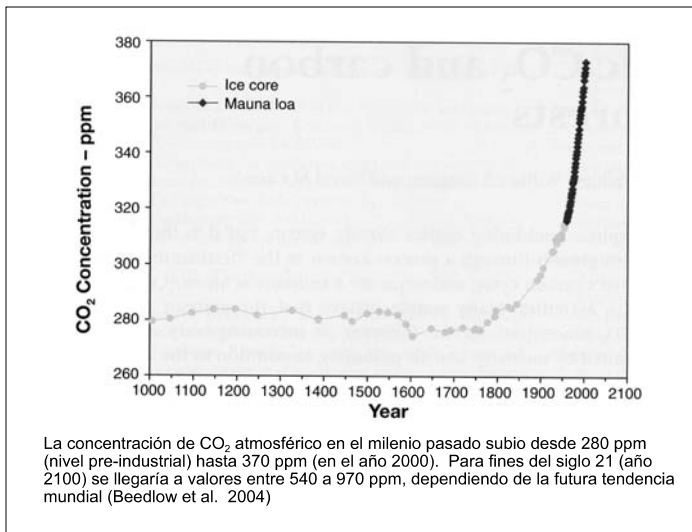
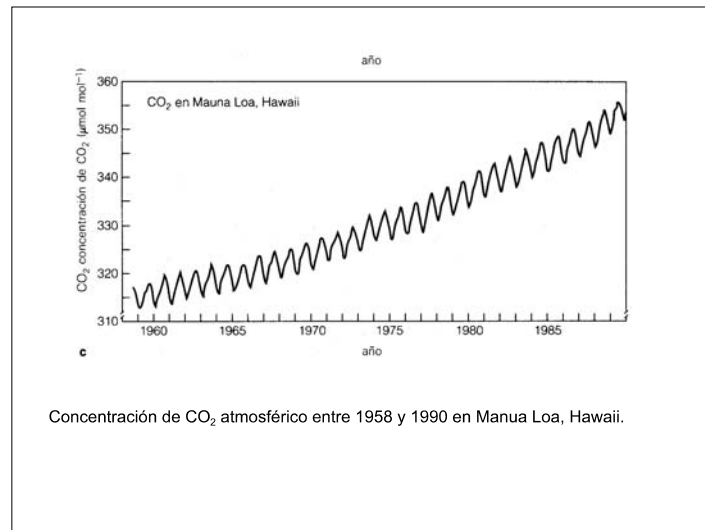
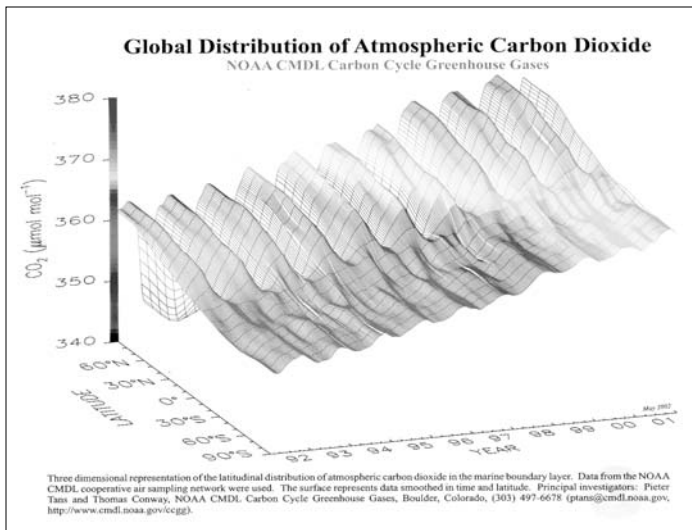
Tipos de metabolismos C4

- PEP + CO₂ → AOA + P
- AOA + NADPH + H → malato + NADP⁺
- AOA + alanina → aspartato + piruvato
- C4 tipo A (formadoras de aspartato): se exporta aspartato, se descarboxila en citoplasma por la enzima malica (NAD).
- C4 tipo B (formadoras de malato): malato deshidrogenasa en cloroplasto del mesófilo, se exporta malato a la célula de la vaina, y se descarboxila por la NADP malato deshidrogenasa
- C4 tipo C: se exporta aspartato, se descarboxila en citoplasma por la PEP carboxiquinasa



Efecto Warburg:
el O₂ inhibe la
fotosíntesis





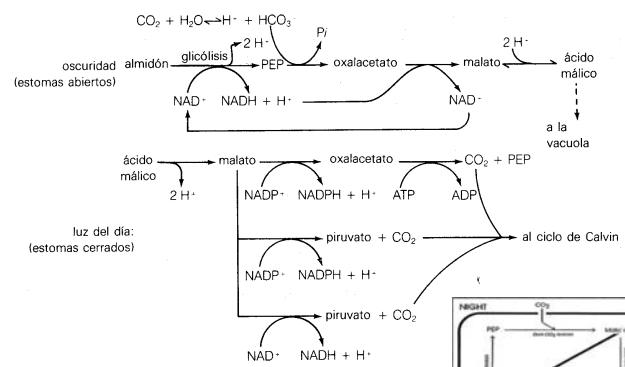
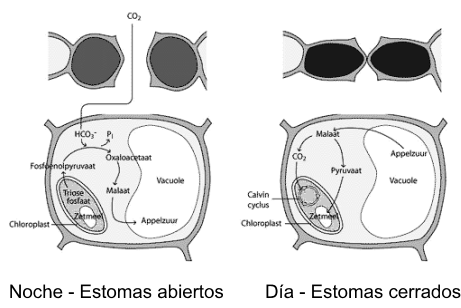


Figura 11-14 Resumen de la fijación de CO₂ en plantas CAM.

Ler

- Salisbury F. y C. Ross (1994) Fisiología Vegetal. Grupo Editorial Iberoamérica, México. ISBN 970-625-024-7. Capítulo 11.